

بررسی الگوی بیان ژن گیرنده فاکتور رشد شبه انسولین-۱ (IGF-IR) تحت تأثیر فاکتور نکروز تومور-آلfa (TNF-α) در سلول‌های بنیادی مزانشیمی مشتق از مغز استخوان انسان

زنیب صحرائیان^۱، مریم آیت‌الهی^۲، رامین یعقوبی^۳

^۱-دانشگاه آزاد اسلامی واحد علوم و تحقیقات فارس، دانشجوی دکتری ریست شناسی تکوینی، دانشکده علوم پایه، شیراز، ایران.

^۲-استادیار دانشگاه علوم پزشکی شیراز، مرکز تحقیقات پیوند و ترمیم اعضاء بیمارستان نمازی، شیراز، ایران. ayatollmb@yahoo.com

^۳-دانشیار دانشگاه علوم پزشکی شیراز، مرکز تحقیقات پیوند و ترمیم اعضاء بیمارستان نمازی، شیراز، ایران.

تاریخ دریافت: ۹۱/۱۱/۱۷ تاریخ پذیرش: ۹۲/۱/۱۷

چکیده

مقدمه و هدف: نارسایی‌های حاد کبدی از جمله بیماری‌های مهم کبدی محسوب می‌شوند که خطر مرگ و میر آن‌ها بسیار بالا می‌باشد. پیش‌هاد شده است که سلول درمانی جایگزین مناسبی به جای پیوند کل کبد، در درمان نارسایی‌های حاد کبدی می‌باشد. سلول‌های بنیادی مزانشیمی یکی از مهم‌ترین سلول‌ها در زمینه سلول درمانی هستند که از منابع مختلفی از جمله مغز استخوان به دست می‌آیند. فاکتور رشد شبه انسولین-۱ (IGF-I) پس از اتصال به گیرنده خود (IGF-IR) در ترمیم بافت کبد تأثیر بهسزایی دارد. ما در این تحقیق به بررسی الگوی بیان ژن IGF-IR در سلول‌های بنیادی مزانشیمی مشتق از مغز استخوان انسان تحت تأثیر فاکتور نکروز تومور-آلfa (TNF-α) پرداخته شده است.

روش کار: پس از استخراج سلول‌های بنیادی مزانشیمی از حدود ۵ میلی‌لیتر مغز استخوان افراد دهنده سالم مراجعه کننده به بخش پیوند مغز استخوان بیمارستان نمازی شیراز (پس از اخذ رضایت‌نامه)، سلول‌ها جداسازی و کشت شدند. شناسایی آن‌ها با شیوه فلوسایتومنتری انجام گرفت. سلول‌های پاساژ چهارم با مقدار ۱ ng/mL در زمان‌های مختلف (۲، ۱۰، ۲۴ و ۴۸ ساعت) تحت تأثیر فاکتور التهابی TNF-α تیمار شدند. میزان بیان ژن IGF-IR در سلول‌های بنیادی مزانشیمی تیمار نشده و تیمار شده با TNF-α با Real Time-PCR مورد بررسی قرار گرفت.

یافته‌ها: نتایج آنالیز فلوسایتومنتری نشان داد که سلول‌های بنیادی مزانشیمی نسبت به بیان مارکر CD90 مشت بودند، در حالی که نسبت به بیان مارکرهای CD45 و CD80 متفاوت می‌باشند. در سلول‌های بنیادی مزانشیمی تیمار شده با TNF-α نسبت به گروه کنترل افزایش بیان ژن IGF-IR مشاهده شد. ییشتربن میزان بیان ژن IGF-IR در گروه سلولی تیمار شده با ۱ ng/mL از فاکتور التهابی به مدت ۱۰ ساعت به دست آمد.

نتیجه گیری: الگوی افزایش بیان ژن IGF-IR در سلول‌های بنیادی مزانشیمی مشتق از مغز استخوان انسان تحت تأثیر TNF-α، از یک رفتار وابسته به زمان تعییت می‌کند. این نتیجه می‌تواند در آینده در زمینه سلول درمانی نارسایی‌های حاد کبدی کاربرد کلینیکی داشته باشد.

واژه‌های کلیدی: سلول‌های بنیادی مزانشیمی، مغز استخوان انسان، گیرنده فاکتور رشد شبه انسولین-۱ (IGF-IR)، فاکتور نکروز تومور-آلfa (TNF-α).

مقدمه

کبد می‌باشد (۱۶). علیرغم پیشرفت‌های درمانی اخیر نارسایی‌های حاد کبدی هنوز به عنوان یک بیماری مهلک مطرح می‌باشد. خطر مرگ و میر این بیماری بسیار بالا (۱۰۰–۳۰۰ درصد) می‌باشد. سازمان بهداشت جهانی تخمین زده است که حدود ۲۰ میلیون نفر از

narssایی‌های حاد کبدی (Acute Liver Failure, ALF) ناهاز جمله بیماری‌های مهم کبدی محسوب می‌شوند که پیشرفت بسیار سریعی داشته و مشخصه آن ایجاد اختلال شدید در عملکرد کبد و از دست رفتن هموئتازی متابولیک طبیعی و نقص سیستمیک اندام

های منحصر به فرد هستند. آن‌ها قادرند به دودمان‌های مزودرمی وغیر مزودرمی شامل سلول‌های استخوان، چربی، غضروف، ماهیچه، قلب، فیبروبلاست، میوفیبروبلاست، سلول‌های اپیتیال و عصبی تمایز یابند. تمایز این سلول‌ها به سایر رده‌های سلولی، نشان دهنده پتانسیل تمایزی بالای آن‌ها می‌باشد (۳۰،۳۱،۶۳). از طرف دیگر، از جمله هورمون‌هایی که در ترمیم کبد مؤثرند، فاکتور رشد شبه انسولین-۱ (Insulin Like Growth Factor-I, IGF-I) می‌باشد. این فاکتور یک هورمون پروتئینی است که از نظر توالی پیتیدی، شیوه انسولین می‌باشد. بررسی‌ها نشان داده اند که ۹۰٪ از انسولین می‌باشد. بررسی‌ها نشان داده اند که ۲۴٪ IGF-I تولید شده در بدن از کبد منشأ می‌گیرد (۲۴). این فاکتور می‌تواند رشد، تکثیر و جلوگیری از مرگ سلول‌ها را تنظیم کند (۲۸). فاکتور IGF-I اعمال خود در ترمیم کبد را از طریق اتصال به گیرنده اختصاصی خود (IGF-IR) اعمال می‌کند. در نتیجه این اتصال، چندین مسیر از جمله فسفاتیدیل اینوزیتول-۳-کیناز به صورت آبشاری در سلول فعال می‌شوند (۳۳). مکانیسم‌های تنظیم ترمیم کبد به طور وسیعی مورد مطالعه قرار گرفته و نشان داده شده است که وابسته به سیتوکین‌هایی مانند اینترلوکین-۶ و فاکتور نکروز (Tumor Necrosis Factor- α , TNF- α) می‌باشد (۱۰،۱۴). TNF- α یک سیتوکین التهابی چند عملکردی است که اولین بار در سال ۱۹۷۵ توسط کارزول و همکاران شناسایی شد (۸). این سیتوکین توسط گروهی از سلول‌ها خصوصاً ماکروفاژها تولید و ترشح می‌شود. TNF- α به عنوان یک میانجی کلیدی در پاسخ ایمنی در محل التهاب می‌باشد (۲۲). همه ویژگی‌های عملکردی TNF- α از طریق اعضاء اختصاصی خانواده گیرنده‌های TNF- α اجرا می‌شود. این گیرنده‌ها چندین مسیر سیگنال درون سلولی را راه اندازی می‌کند (۱۹). برآیند فعال شدن این مسیرها

مردم جهان از بیماری‌های سیروز کبدی و یا سلطان کبد رنج می‌برند (۱۲،۳۲). در مطالعات مختلف پیشنهاد شده است که سلول درمانی جایگزین مناسبی به جای پیوند کل کبد، در درمان نارسایی‌های حاد کبدی می‌باشد و سرعت مرگ و میر افراد منتظر دریافت پیوند را کاهش می‌دهد (۱۸،۲۵). از جمله مزیت‌های این روش درمانی عبارت است از امکان انجام دستکاری ژنتیکی جهت تصحیح اشتباهات متابولیسمی ارثی، امکان منجمد کردن سلول‌ها برای استفاده در آینده، تزریق بدون نیاز به عمل جراحی و امکان به دست آوردن این سلول‌ها از فرد بیمار و پیشگیری از خطر پس زدن پیوند و عدم نیاز به سرکوب سیستم ایمنی به صورت مدام از عمر می‌باشد (۲۶). سلول‌های بنیادی Mesenchymal Stem Cells, MSCs یکی از مهم‌ترین گرینه‌ها در زمینه سلول درمانی هستند که از منابع مختلفی از جمله مغز استخوان به دست می‌آیند. مطالعات نشان داده است که سلول درمانی اتلولوگ تکنیک درمانی مناسبی محسوب می‌شود (۲۰). اولین بار توسط ایسمن در سال ۱۹۶۵ درمان نارسایی کبدی با کمک بافت زنده کبد انجام گرفت (۱۳). اخیراً تلاش‌های زیادی در جهت درمان بیماری‌های حاد کبدی به صورت *In vivo* و *In vitro* توسط محققین مختلف صورت گرفته است. جین و همکاران پیشنهاد کردند موش‌های دچار نارسایی حاد کبدی که پیوند سلول‌های تک هسته‌ای مغز استخوان را به صورت ترکیبی با فاکتور رشد کبدی دریافت کرده بودند، بهبود عملکرد و بافت کبد را نشان دادند (۲۳). مطالعات مختلف پتانسیل درمانی MSCs مشتق از مغز استخوان در درمان برخی از بیماری‌ها را تأیید نموده اند. این سلول‌ها اولین بار توسط فریدنستین در سال ۱۹۶۶ کشف شدند (۱۵). MSCs دارای ظرفیت چند توان می‌باشند، سریعاً به کف ظرف چسبیده و دارای ویژگی-

حدود ۱۲ روز از شروع کشت اولیه، با رسیدن سلول‌ها به تراکم ۷۰-۸۰ درصد، پاساژ سلولی انجام گرفت. برای انجام پاساژ سلولی، پس از دور ریختن محیط کشت روی سلول‌ها و شستشوی آن‌ها با محلول شستشو، تریپسین روی سطح سلول‌ها ریخته شد. بعد از طی مدت کوتاهی در دمای ۳۷ درجه سانتی‌گراد، با گرد و کنده شدن سلول‌ها از کف ظرف، سلول‌ها جمع-آوری و به فلاسک‌های جدید حاوی محیط کشت تازه منتقل شدند.^(۳)

آنالیز فلوسایتومتری

جهت شناسایی MSCs از تکنیک فلوسایتومتری استفاده شد. از سلول‌های پاساژ سوم با تراکم بیش از ۸۰ درصد جهت انجام فلوسایتومتری استفاده گردید. پس از تریپسینه کردن سلول‌ها، سانتریفیوژ گردید. سپس سلول‌ها با بافر شستشو و مجدداً سانتریفیوژ شدند. در مرحله بعد، FBS به رسمیت سلولی اضافه گردید و در دمای ۴ درجه سانتی‌گراد به مدت ۱۵ دقیقه قرار داده شد. مجدداً مرحله شستشو و سانتریفیوژ را تکرار شد. در مرحله بعد سلول‌ها با ایزوتوپیسانات فلورستن متصل به آنتی‌بادی‌های CD45، CD80 و CD90 نشان‌دار شدند و به مدت ۳۰ دقیقه در محیط تاریک قرار داده شدند. نمونه کنترل نیز در کنار سایر نمونه‌ها قرار داده شد. محلول موجود با بافر، شستشو داده و سپس سانتریفیوژ شد. نهایتاً پس از قرار دادن در دستگاه فلوسایتومتر، رسم نمودارهای مورد نظر صورت گرفت. جهت‌حدفاکنش‌های غیراختصاصی از آنتی‌بادی‌های ایزوتوپیکنترلاستفاده شد.^(۳)

تیمار سلول‌های بنیادی مزانشیمی

سلول‌های MSCs در پاساژ چهارم با تراکم 5×10^3 Cells/mL تحت تأثیر غلاظت LTNF- α ۱ ng/mL در مدت زمان‌های

ترمیم کبد می‌باشد. در تحقیقات گزارش شده است که در طول ترمیم کبد پس از جدا کردن بخشی از کبد، تولید TNF- α افزایش می‌یابد که منجر به پیشبرد تکثیر هپاتوسیت‌ها می‌شود.^(۳۶) در این تحقیق الگوی بیان ژن IGF-IR در MSCs مشتق از مغز استخوان انسان تحت تأثیر TNF- α مورد بررسی قرار گرفت. افزایش IGF-IR می‌تواند در ارتباط با پروسه ترمیم بافت کبد بعد از آسیب باشد.

مواد و روش‌ها

نمونه گیری از مغز استخوان، جداسازی و کشت
پس از اخذ رضایت‌نامه، MSCs مشتق از مغز استخوان از استخوان لگن افراد دهنده سالم و ترجیح‌جوان (سن ۱۷-۳۰ سال)، در بیمارستان نمازی شیراز، آسپیره و سریعاً به آزمایشگاه سلول‌های بنیادی مرکز تحقیقات پیوند و ترمیم اعضاء این بیمارستان منتقل شد. در ابتدا هم حجم نمونه مغز استخوان، محیط کشت DMEM (Dulbecco's modified Eagle's medium) حاوی ۱۰٪ سرم جنینی گاوی (Fetal bovine serum, FBS) یک درصد ال-گلوتامین و یک درصد آنتی‌بیوتیک استرپتومایسین، پنی سیلین به آن اضافه شد. با استفاده از فایکول، سلول‌های تک هسته‌ای از سایر لایه‌ها جدا و به آن محیط کشت اضافه شد. سپس سانتریفیوژ گردید. سوسپانسیون سلولی را در محیط کشت (حاوی ۱۰ درصد سرم FBS) در فلاسک T25 به طور یکنواخت کشت و در داخل انکوباتور (دمای ۳۷ درجه سانتی‌گراد و ۵ درصد دی اکسید کربن) قرار داده شد. پس از حدود ۷ روز سلول‌ها با خاصیت چسبندگی خود به کف ظرف چسبیدند، در این مرحله محیط کشت موجود در سطح سلول‌ها تعویض گردید. در مراحل بعدی هر از ۳-۴ روز با محلول شستشو (phosphate buffered saline, PBS) شستشو و سپس تعویض محیط کشت انجام شد. پس از

نهایی $23\mu\text{L}$ به شرح زیر استفاده گردید. این ترکیب شامل مقدار $1\mu\text{L}$ dNTPs، $1\mu\text{L}$ آغازگر هنگام رندوم، (*Moloney Murine Leukemia Virus reverse transcriptase*) $1\mu\text{L}$ از آنزیم نسخه بردار معکوس (*mRNA ۱۰\mu\text{L}* باfer و $2\mu\text{L}$ مفطر، $۷/۳۵\mu\text{L}$ آب مفطر، $۰/۶۵\mu\text{L}$ مهار کننده ریبونوکلئاز، $۰/۶\mu\text{L}$ باشد.

Real Time-PCR

طراحی آغازگرهای IGF-IR و بتا-اکتین (نسخه ۶) با کمک نرم افزارهای Blast از NCBI و اولیگو انجام گرفت. توالی آغازگرهای گیرنده IGF-IR و بتا-اکتین در جدول ۱ آورده شده است. بیان نسبی ژن IGF-IR و بتا-اکتین با کمک سایبر گرین طبق دستور العمل مورد بررسی قرار گرفتند. ترکیب PCR جهت تعیین بیان نسبی ژن IGF-IR شامل $۰/۴\mu\text{L}$ رنگ، $۰/۶\mu\text{L}$ آب مفطر، $۰/۸\mu\text{L}$ آغازگرهای جلوبرنده و معکوس، $۲\mu\text{L}$ مخلوط اولیه میباشدند. ترکیب مخلوط واکنش PCR جهت تعیین بیان نسبی ژن بتا-اکتین شامل $۰/۴\mu\text{L}$ رنگ، $۰/۶/۸\mu\text{L}$ آب مفطر، $۰/۴\mu\text{L}$ آغازگرهای جلوبرنده و معکوس، $۲\mu\text{L}$ cDNA و $۱۰\mu\text{L}$ مخلوط اولیه میباشدند. ضمناً غلظت آغازگرهای مورد استفاده ۱۰ پیکومول بوده است. برنامه دمایی و زمانی دستگاه ترموسایکلر جهت انجام *RT-PCR* به صورت دناتوراسیون اولیه ۲ دقیقه ۹۵ درجه سانتی گراد، دناتوراسیون ثانویه ۳۰ ثانیه ۹۵ درجه سانتی گراد، ۲۰ ثانیه مرحله اتصال پرایمر در $۶۰/۳$ درجه سانتی گراد، ۳۰ ثانیه مرحله طوبیل سازی در دمای ۷۲ درجه سانتی گراد برای ۳۵ سیکل در نظر گرفته شد.

مختلف ۲ ، ۱۰ ، ۲۴ و ۴۸ ساعت قرار گرفتند. پس از زمانهای متفاوت قرار گرفته بودند، مورد بررسی و مقایسه قرار گرفت.

بیان ژن IGF-IR

cDNA استخراج mRNA و ستز
بررسی سطوح بیان ژن IGF-IR با کمک MSCs تیمار نشده و تیمار شده با TNF- α در مرحله پاساژ چهارم انجام گرفت. مقدار $۷۰۰\mu\text{L}$ باfer شستشو (PBS) به $۱\mu\text{L}$ *MSCs* اضافه شد. استخراج mRNA $۰/۱\mu\text{L}$ نمونه سلولی، با کمک کیت استخراج RNX plus (سیناژن-ایران) بر اساس دستور کار مندرج در کیت انجام شد که به صورت مختصر ذکر میگردد. ابتدا به $۲۰۰\mu\text{L}$ سوپانسیون سلولی مقدار $۱\mu\text{L}$ محلول RNX-plus اضافه و مخلوط شد. سپس مقدار $۱۰۰\mu\text{L}$ کلروفرم سرد به آن اضافه گردید و با دور ۱۴۰۰ در دمای ۴ درجه سانتی گراد به مدت ۲۰ دقیقه سانتریفیوژ شد. پس از جدا کردن فاز آبی، مقدار $۱\mu\text{L}$ ایزوپیروپانول سرد به آن افروده شد و به مدت ۲۴ ساعت در فریزر -20°C درجه سانتی گراد قرار داده، سپس سانتریفیوژ شد. محلول درون میکروتیوب خالی شد و در مرحله بعد مقدار $۱۰۰\mu\text{L}$ اتانول ۷۵ درصد سرد به آن افروده شد. سپس به مدت ۸ دقیقه، دور ۸۰۰۰ و دمای ۴ درجه سانتی گراد سانتریفیوژ گردید. محلول درون میکروتیوب خالی و سپس جهت جمع شدن کامل RNA درب میکروتیوب را بسته و به مدت ۱۰ ثانیه میکروفیوژ گردید. نهایتاً مقدار $۰/۲۵\mu\text{L}$ آب مفطر به آن افروده و مخلوط گردید. جهت ستر cDNA از mRNA استخراج شده از *MSCs* از ترکیبی با حجم

جدول ۱- مشخصات آغازگرهای گیرنده IGF-I و بتا-اکتین

	آغازگر معکوس	آغازگر جلوبرنده
IGF-IR	5'-TCCCAAACGACCCCTGCCA-3'	5'-TCTGCCCGTCGCTGCCTGT-3'
بta اکتین	5'-GACGATGGAGGGGCCACT-3'	5'-GGCGGGCACCAACCATGTACC-3'

گذشت زمان رشد نموده (شکل ۱-الف) و مدتی پس از آغاز کشت، کلندی‌ها در محیط پختش شده و به صورت تک لایه‌ای از سلول‌های دوکی شکل، کف ظرف را پوشاندند (شکل ۱-ب). بعد از مشاهدات میکروسکوپی، ملاحظه شد که به طور فراینده‌ای بر تعداد سلول‌های چسبنده افزوده می‌شود. این سلول‌ها در طی دوره رشد، ریخت شناسی فیبروبلاستی خود را حفظ نمودند.

نتایج مربوط به فلوسايتومتری

نتایج آنالیز فلوسايتومتری نشان داد که این سلول‌ها نسبت به بیان مارکرهای CD45 و CD80 منفی می‌باشد (نمودار ۱-الف و ب)، در حالی که نسبت به بیان مارکر CD90 مثبت بوده اند (نمودار ۱-ج). نتایج به دست آمده ویژگی سلول‌های بنیادی مزانشیمی را به اثبات می‌رسانند. نتایج آنالیز فلوسايتومتری بر اساس نقطه اتصال نمودار ایزوتاپ با نمودار آنتی بادی اختصاصی به دست آمد.

تحلیل آماری

با کمک تست RT-PCR برای هر نمونه یک Ct (Cycle threshold) به دست آمد. در واقع Ct است از سیکلی که در آن، فلورسانس خط آستانه را قطع می‌کند. Ct به دست آمده از نمونه‌ها با کمک به دست آمده برای ژن بتا-اکتین توسط فرمول زیر نرمالیزه گردید.

$$\Delta \text{Ct} (\text{experimental}) = \text{Ct} (\text{Treated MSCs}) - \text{Ct} (\beta\text{-Actin})$$

$$\Delta \text{Ct} (\text{control}) = \text{Ct} (\text{untreated MSCs}) - \text{Ct} (\beta\text{-Actin})$$

$$\Delta\Delta \text{Ct} = \Delta\text{Ct} (\text{experimental}) - \Delta\text{Ct} (\text{control})$$

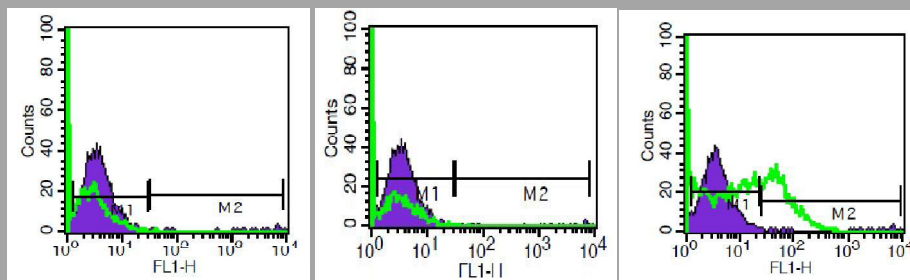
$$2 - \Delta\Delta \text{Ct} = r$$

نتایج

نتایج مربوط به کشت اولیه سلول‌ها پس از کشت اولیه سلول‌ها، MSCs به طور روزانه با کمک میکروسکوب معکوس مورد بررسی قرار می‌گیرند. براساس این مشاهدات، از بین هزاران سلول موجود، در روزهای دوم و سوم سلول‌های بسیار کمی در کشت اولیه فیبروبلاستی و دوکی شکل شده و به کف ظرف می‌چسبند. کلندی‌های بزرگ سلولی با



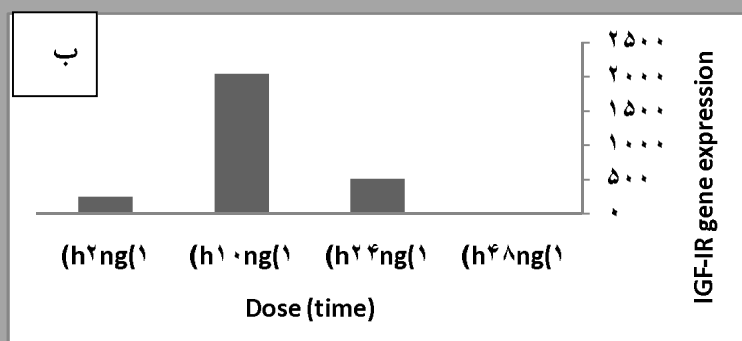
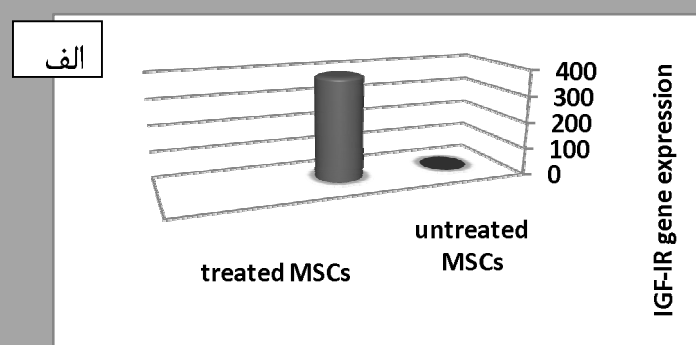
شکل ۱- جداسازی و کشت MSCs مشتق از مغز استخوان انسان. (الف) کلندی‌های منفرد سلولی شامل سلول‌های شبه فیبروبلاستی. (ب) کشت اولیه MSCs مشتق از مغز استخوان انسان با سلول‌های دوکی شکل.



نمودار ۱- شناسایی MSCs مشتق از مغز استخوان انسان. نتایج فلورسیومتری سلول‌های بنیادی مزانشیمی مشتق از مغز استخوان انسان نشان داد که این سلول نسبت به بیان مارکرهای CD45 و CD80 منفی (الف و ب) و نسبت به بیان مارکر CD90 مثبت می-باشند (ج). افزایش بیان ژن IGF-IR تحت تأثیر TNF- α در تأثیر TNF- α در

زمان‌های ۲، ۱۰، ۲۴ و ۴۸ ساعت به ترتیب ۲۰۴۸، ۲۵۶، ۵۱۲ و ۳۲ می‌باشد پس بیشترین میزان بیان ژن مذکور در زمان ۱۰ ساعت پس از تیمار اتفاق می‌افتد (نمودار ۲- ب). همچنان نتایج آنالیز داده‌های به دست آمده شامل Ct، ΔCt ، $\Delta\Delta Ct$ و $2^{-\Delta\Delta Ct}$ در جدول ۲ آورده شده است.

نتایج آنالیز مولکولی نشان داد که بیان ژن IGF-IR در MSCs مشتق از مغز استخوان انسان در گروههای تیمار نشده و تیمار شده با TNF- α با یکدیگر متفاوت بودند. میزان بیان ژن در گروههای تیمار شده به طور معنی‌داری بیشتر می‌باشند (نمودار ۲- الف). مقایسه میزان بیان ژن در گروههای سلولی تیمار شده با میزان بیان ژن در سطوح مختلف تیمار شده با $2^{-\Delta\Delta Ct}$ برای ng/mL TNF- α



نمودار ۲- تفاوت در سطوح بیان ژن IGF-IR در MSCs تیمار نشده و تیمار شده با TNF- α . الف) تفاوت در سطح بیان ژن IGF-IR در MSCs تیمار نشده در مقایسه با سلول‌های تیمار شده با TNF- α . ب) مقایسه بیان ژن IGF-IR در MSCs تیمار شده با ng/mL TNF- α در زمان‌های مختلف.

جدول ۲- سطوح بیان ژنهای IGF-IR و بتا-اکتین در MSCs تیمار نشده و تیمار شده با TNF- α

$\Delta\Delta Ct$	ΔCt	Ct بتا-اکتین	Ct IGF-IR	دوز و زمان تیمار
۲۵۶	-۷	۸	۲۲	۳۰ ۱-۲ ساعت ng/mL
۲۰۴۸	-۱۲	۳	۱۸	۲۱ ۱-۱۰ ساعت ng/mL
۵۱۲	-۹	۶	۲۰	۲۶ ۳-۴ ساعت ng/mL
۳۲	-۵	۱۰	۲۲	۳۲ ۴-۸ ساعت ng/mL
-	-	۱۵	۲۲	۳۷ تیمار نشده (کنترل)

همکاران در سال ۲۰۰۹ نشان دادند که تولید ایترلوکین-۶ در MSCs تحت تأثیر TNF- α و ایترفرون گاما افزایش می‌یابد (۱۷). در تحقیق دیگری، تیمار سلول‌های هپاتوسیت با 20 ng/mL TNF- α انجام شد و نتایج نشان داد که میزان بیان ژن ایترلوکین-۸ حدود ۱۰ برابر افزایش داشت (۲۹). همچنین در مطالعه دیگری نشان داده شد که TNF- α تکثیر هپاتوسیت‌ها را در حضور فاکتورهای رشد پیش می‌برد (۱). راه اندازی مسیر بیان ژن توسط TNF- α از طریق اتصال این فاکتور به گیرنده اختصاصی خود و به دنبال آن فعال‌سازی فسفولیپاز C می‌باشد. سپس به دنبال آن هیدرولیز فسفاتیدیل کولین، تولید دی آسیل گلیسرول و فعال سازی پروتئین کیناز C اتفاق می‌افتد. این مسیر زمانی که TNF- α القاء فاکتور نسخه برداری NF- κ B(nuclear factor- kappa B) را فعال می‌کند، راه اندازی می‌شود. اتصال NF- κ B به پرومотор ژن مربوطه، منجر به روشن شدن ژن و بیان آن می‌گردد (۳۴). برخی دانشمندان نشان دادند که تزریق داخل صفاتی TNF- α به موش‌های سالم منجر به القاء شدید NF- κ B شیوه همان‌حالاتی که پس از تخریب بخشی از کبد به وجود می‌آید، می‌شود (۲-۱۱). در این تحقیق به بررسی تغییرات سطح بیان ژن IGF-IR در گروه‌های MSCs تیمار شده با TNF- α در مقایسه با گروه سلولی تیمار نشده با کمک تکنیک RT-PCR پرداخته شد.

امروزه با توجه به محدودیت شدید اندام قابل پیوند، سلول درمانی جایگزین مناسبی به جای پیوند کل اندام محسوب می‌شود. در دهه اخیر، MSCs مشتق از مغز استخوان به عنوان یک منبع مهم برای سلول درمانی در پژوهشی مطرح می‌باشدند. مطالعات پیش بالینی و بالینی نشان داده است که پیوند این سلول‌ها در درمان برخی از بیماری‌ها مانند نارسایی‌های قلبی، مغزی، استخوانی و کبدی مؤثر می‌باشند (۳۵). با توجه به اهمیت MSCs در پیوند سلولی، روش‌های زیادی جهت بهبود پتانسیل درمانی آن‌ها صورت گرفته است. یکی از این شیوه‌ها تحت تأثیر قرار دادن این سلول‌ها با فاکتورهایی از جمله سیتوکین‌ها می‌باشد. پتانسیل درمانی مورد استفاده در ترمیم استخوان با کمک برخی سیتوکین‌های خاص به عنوان فاکتورهای محیطی در سلول‌های کشت داده شده، بهبود یافت (۹). در شرایط پاتوفیزیولوژیکی، چندین سیتوکین از جمله TNF- α در اطراف محل آسیب دیده افزایش می‌یابند. اثرات این سیتوکین‌ها بر روی سلول‌های مختلف، متفاوت می‌باشد (۲۵،۷). وانگ و همکاران دریافتند که سیتوکین‌های التهابی مثل TNF- α قادر به افزایش دادن حساسیت MSCs نسبت به کیموکین‌ها می‌باشند (۲۱). در مقاله دیگری نیز بر این نکته تأکید شده است که بیان مولکول چسبنده بین سلولی ۱-تحت تأثیر TNF- α در سلول‌های اندوتیال افزایش می‌یابد (۲۷). گوآنگ و

مشتق از مغز استخوان انسان تحت تأثیر فاکتور التهابی TNF- α ممکن است در سلول درمانی در جهت بهبود بیماری ALF مؤثر باشند.

تشکر و قدردانی

بر خود لازم می‌دانیم تا از سرکار خانم دکتر گرامی زاده و سرکار خانم دکتر عقدایی که در مرکز تحقیقات پیوند اعضاء بیمارستان نمازی شیراز ما را در انجام این تحقیق یاری رساندند، صمیمانه تشکر نماییم.

نتایج ما نشان داد که تأثیر TNF- α بر میزان بیان ژن IGF-IR در MSCs مشتق از مغز استخوان انسان طبق یک الگوی وابسته به زمان می‌باشد. حداقل میزان بیان این ژن در سلول‌های MSCs تیمارشده با 1 ng/mL فاکتور التهابی TNF- α به مدت ۱۰ ساعت به دست آمد. القاء آزمایشگاهی MSCs با TNF- α می‌تواند به عنوان یک شیوه مؤثر در افزایش پتانسیل درمانی این سلول‌ها در سلول درمانی مطرح باشد. الگوی افزایش بیان ژن گیرنده IGF-I در

منابع

1. Albrecht, J. (1997). Regulation of cyclin-dependent kinase inhibitor gene expression in hepatic regeneration. *Hepatology*, 25; 557-563.
2. Akerman, P., Cote, P., Yang, S. (1992). Antibodies to tumor necrosis factor-a inhibit liver regeneration after partial hepatectomy. *Annu. J. Physiol.*, 263; 579-585.
3. Ayatollahi, M., Soleimani, M., Geramizadeh, B. (2012). Conditions to improve expansion of human marrow-derived mesenchymal stem cells based on the rat samples. *World J Stem Cells*, 4(1); 1-8.
4. Bao, X. (2011). Transplantation of human bone marrow-derived mesenchymal stem cells promotes behavioral recovery and endogenous neurogenesis after cerebral ischemia in rats. *Brain Res*, 1367; 103-13.
5. Billiau, A. (1996). Interferon-gamma: Biology and role in pathogenesis. *Adv Immunol*, 62; 61-130.
6. Billon, N., et al. (2007). The generation of adipocytes by the neural crest. *Development*, 134, 2283-2292.
7. Bradley, J. (2008). TNF-mediated inflammatory disease. *J Pathol*, 214; 149-160.
8. Carswell, E., Old, L., Kassel, R. (1975). An endotoxin-induced serum factor that causes necrosis of tumors. *Proceedings of the National Academy of Science*, 72 (9); 3666-3670.
9. Cheng, H., Jiang, W., Phillips, F. (2003). Osteogenic activity of the fourteen types of human bone morphogenic proteins (BMPs). *J Bone Surg Am*, 85; 1544-1552.
10. Cressman, D., Greenbaum, L., Angelis, R. (1996). Liver failure and defective hepatocyte regeneration in interleukin-6-deficient mice. *Science*, 274; 1379-1383.
11. Diehl, A., Yimi, M., Fleckenstein, J. (1994). Tumor necrosis factor- α induces c-jun durumig the regenerative response to liver injury. *Am. J. Pathol*, 267; 552-561.
12. Dietrech, D. (2005). Strategies for management of HCV/HIV coinfection. 3rd ed. PDR., 101-113.
13. Eiseman, B., Liem, D., Raffucci, F. (1965). Heterologous liver perfusion in treatment of hepatic failure. *Ann Surg*, 162; 329-345.
14. Fausto, N., Laird, A., Webber, E. (1995). 1. Liver regeneration. 2. Role of growth factors and cytokines in hepatic regeneration. *FASEB J*, 9; 1527-1536.
15. Friedenstein, A., Gorskaja, J., Kulagina, N. (1976). Fibroblast precursors in normal and irradiated mouse hematopoietic organs. *Exp Hematol*, 4; 267-274.
16. Gronthos, S., Zannettino, A., Hay, S. (2003). Molecular and cellular characterisation of highly purified stromal stem cells derived from human bone marrow. *J Cell Sci*, 116; 1827-1835.
17. Guang, W. (2009). C/EBPb mediates synergistic upregulation of gene expression by interferon- γ and tumor necrosis factor- α in bone marrow-derived mesenchymal stem cells. *stem cells*, 27; 942-948.
18. Han, B., Lu, Y., Meng, B. (2009). Cellular loss after allogeneic hepatocyte transplantation. *Transplantation*, 87; 1-5.
19. Hehlgans, T., Pfeffer, K. (2005). The intriguing biology of the tumor necrosis factor/tumor necrosis factor receptor superfamily. *Immunology*, 115; 1-20.

- 20.**Hemming, A. (2003).Preoperative portal vein embolization for extended hepatectomy. Ann Surg, 237.
- 21.**Hwang, J. (2009). Comparison of cytokine expression in mesenchymal stem cells from human placenta, cord blood, and bone marrow. J Korean Med Sci, 24; 547-554.
- 22.**Janeway, C., Travers, P., Walport, M. (1999). The immune system in health and disease. J. Immunobiology., New York, N.Y : Garland Publishers.
- 23.**Jin, S., Meng, X., Sun, X. (2011). Hepatocyte growth factor promotes liver regeneration induced by transfusion of bone marrow mononuclear cells in a murine acute liver failure model. J Hepatobiliary Pancreat Sci,18; 397-405.
- 24.**Jones, J., Clemons, D. (1995). Insulin-like growth factors and their binding proteins. biological actions. Endocr Rev, 6; 3-34.
- 25.**Kobayashi, N., Noguchi, H., Fujiwara, T. (2000). Establishment of a highly differentiated immortalized adult human hepatocyte cell line by retroviral gene transfer. Transplant Proc, 32; 2368-2369.
- 26.**Kocken, M., Borel Rinkes, I., Bijma, A. (1996).Correction of an inborn error of metabolism by intraportal hepatocyte transplantation in a dog model. Transplantation, 62; 358-364.
- 27.**Look, D., Rapp, S., Keller, B. (1992). Selective induction of intercellular adhesion molecule-1 by interferon gamma in human airway epithelial cells. Am. J. Physiol, 263; L79-L87.
- 28.**Ohlsson, C., Mohan, S., gren, K. (2009).The role of liver-derived insulin-like growth factor-I. The endocrine society, 30(5); 494-535.
- 29.**Osawa, Y., Nagaki, Y., Banno, Y. (2001). Possible involvement of reactive oxygen species in D-galactosamine-induced sensitization against tumor necrosis factor- α -induced hepatocyte apoptosis. J. Cell. Physiol, 187; 374-385.
- 30.**Prockop, D. (1997). Marrow stromal cells as stem cells for nonhematopoietic tissues. Science, 276; 71-74.
- 31.**Rahilly, R., Muller, F. (2007). The development of the neural crest in the human. J Anat, 211; 335-351.
- 32.**Rozga, J. (2006) Liver support technology-an update. Xenotransplantation, 13; 380-389.
- 33.**Steele-Perkins, G., Turner, J., Edman, J. (1988). Expression and characterization of a functional human insulin-like growth factor-I receptor. J Biol Chem, 263; 11486-11492.
- 34.**Thomas, M. (2000). Effects of TNFa on expression of ICAM-1 in human airway epithelial cells In Vitro.Am. J. Respir. Cell Mol. Biol, 22; 685-692
- 35.**Volarevic, V., Arsenijevic, N., Lukic, M. (2011). Mesenchymal stem cell treatment of the complications of diabetes mellitus. Stem Cells, 29; 5-10.
- 36.**Yamada, Y., Kirillova, J., Peschon, A. (1997). Initiation of liver growth by tumor necrosis factor: deficient liver regeneration in mice lacking type I TNF receptor. Proc. Natl. Acad. Sci. USA, 94; 1441-1446.